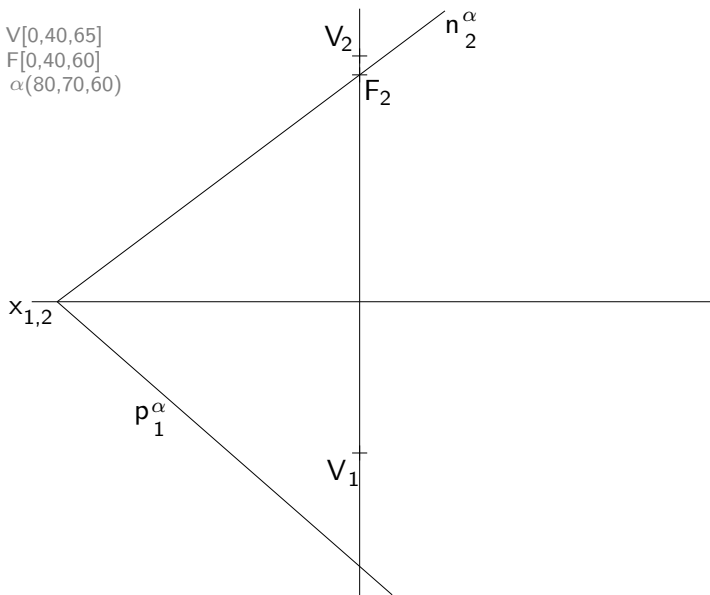


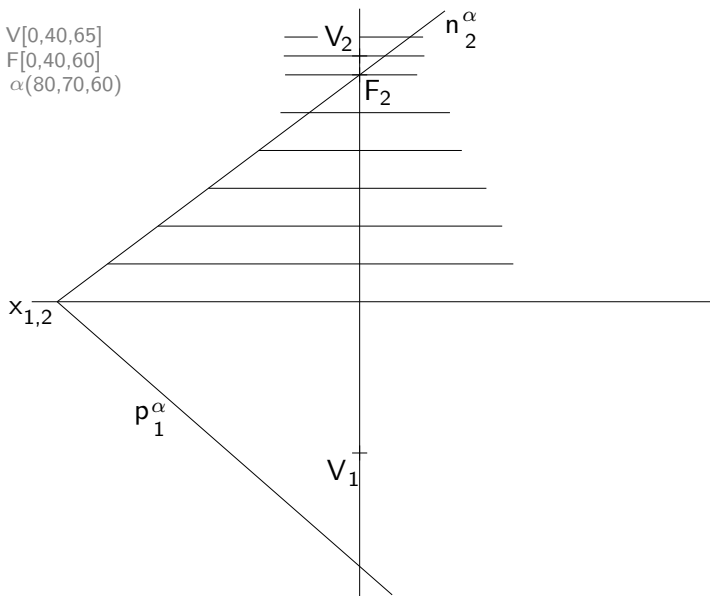
Eliptický řez rotačního paraboloidu

$V[0,40,65]$
 $F[0,40,60]$
 $\alpha(80,70,60)$



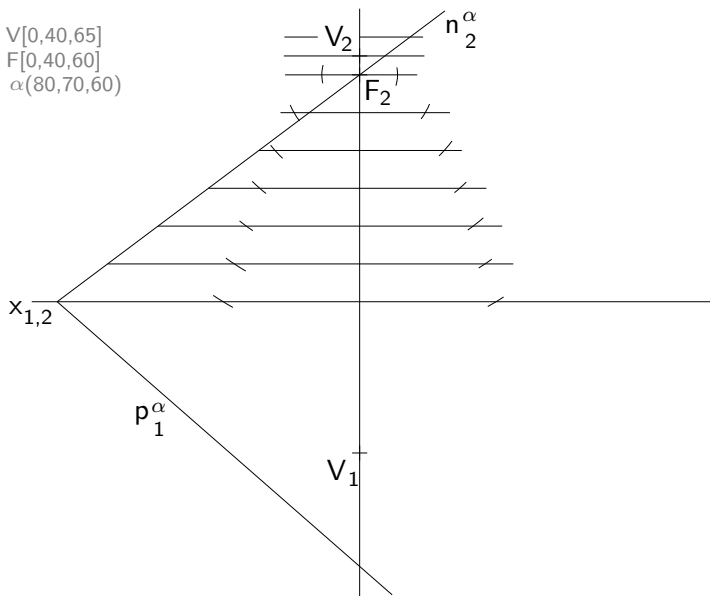
Eliptický řez rotačního paraboloidu

$V[0,40,65]$
 $F[0,40,60]$
 $\alpha(80,70,60)$



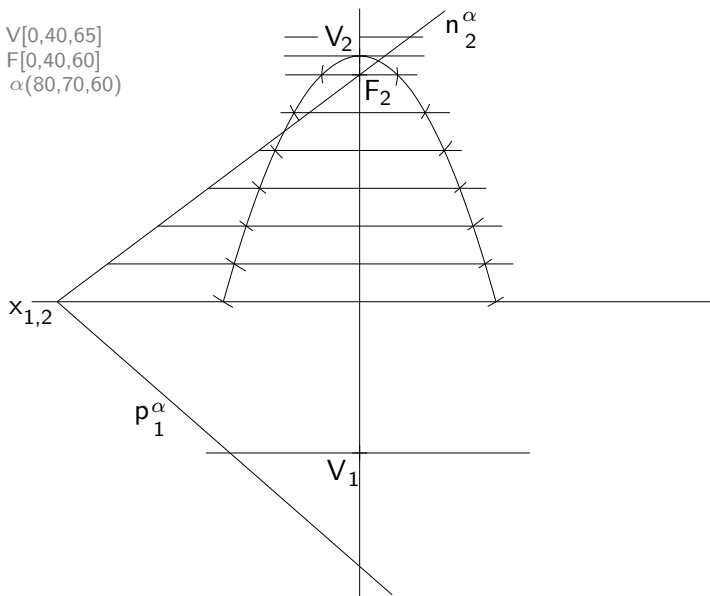
Eliptický řez rotačního paraboloidu

$V[0,40,65]$
 $F[0,40,60]$
 $\alpha(80,70,60)$



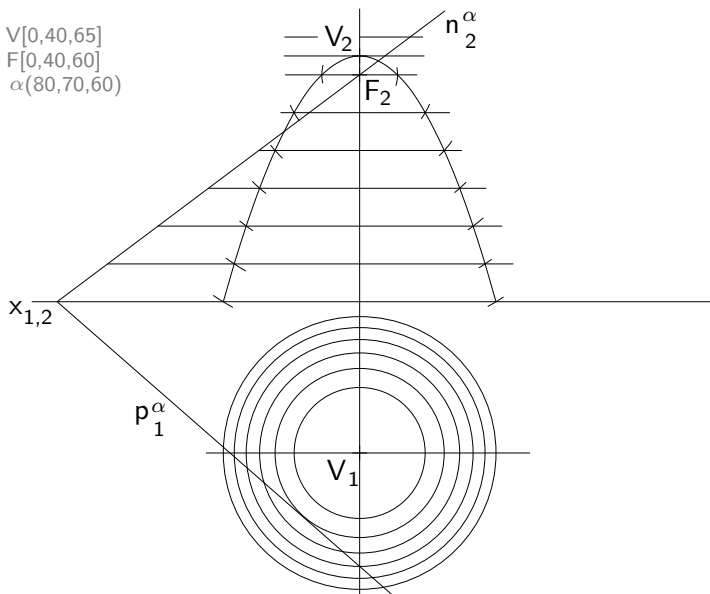
Eliptický řez rotačního paraboloidu

$V[0,40,65]$
 $F[0,40,60]$
 $\alpha(80,70,60)$



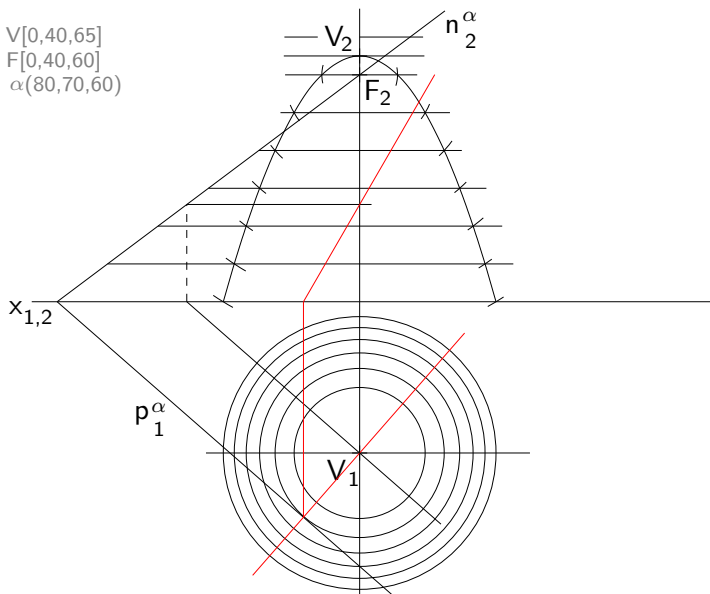
Eliptický řez rotačního paraboloidu

$V[0,40,65]$
 $F[0,40,60]$
 $\alpha(80,70,60)$



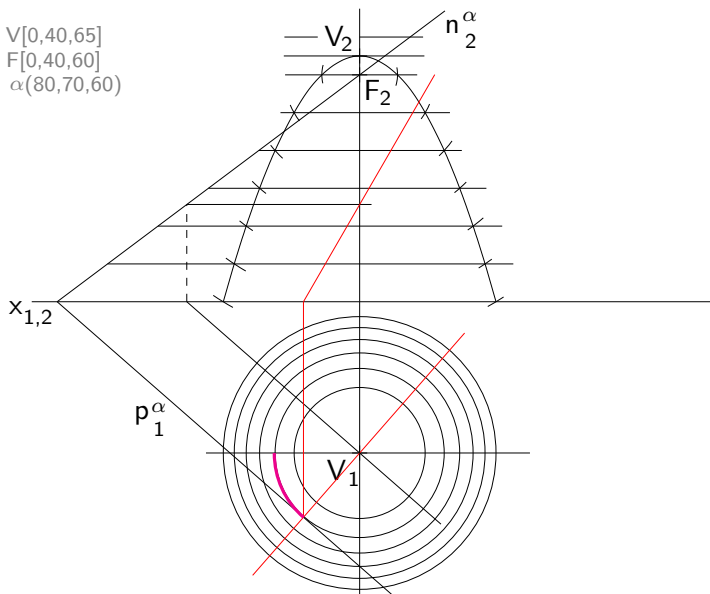
Eliptický řez rotačního paraboloidu

$V[0,40,65]$
 $F[0,40,60]$
 $\alpha(80,70,60)$



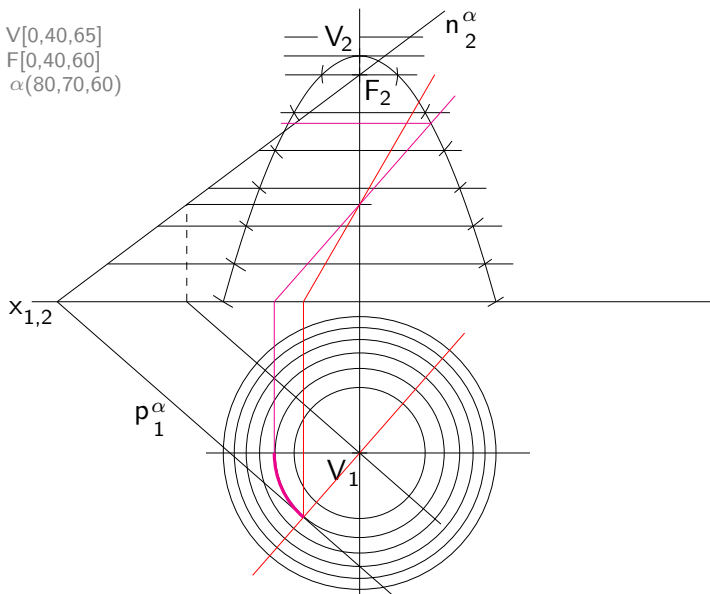
Eliptický řez rotačního paraboloidu

$V[0,40,65]$
 $F[0,40,60]$
 $\alpha(80,70,60)$



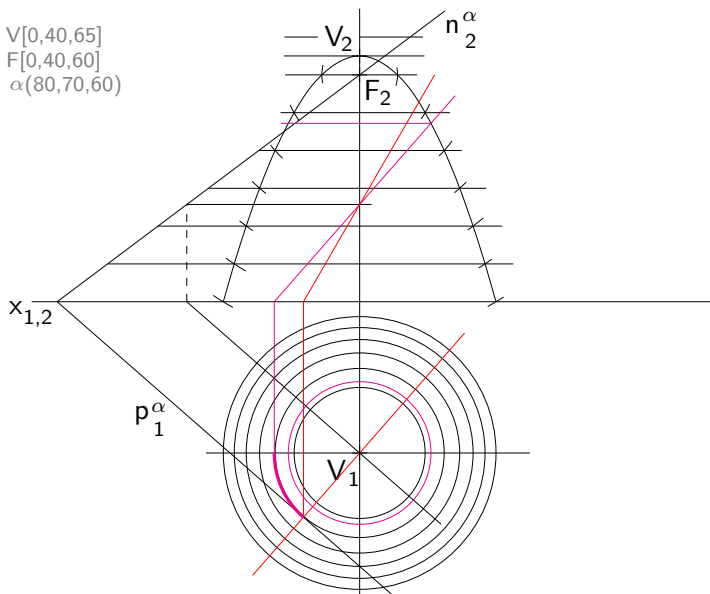
Eliptický řez rotačního paraboloidu

$V[0,40,65]$
 $F[0,40,60]$
 $\alpha(80,70,60)$



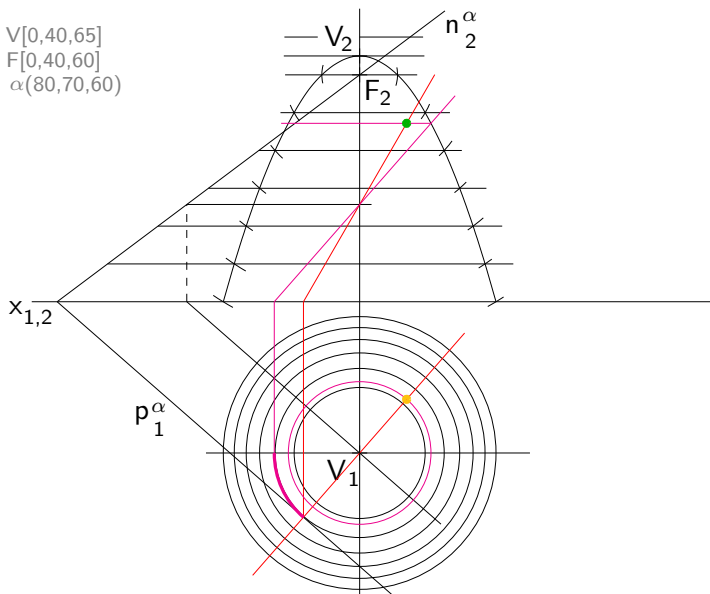
Eliptický řez rotačního paraboloidu

$V[0,40,65]$
 $F[0,40,60]$
 $\alpha(80,70,60)$



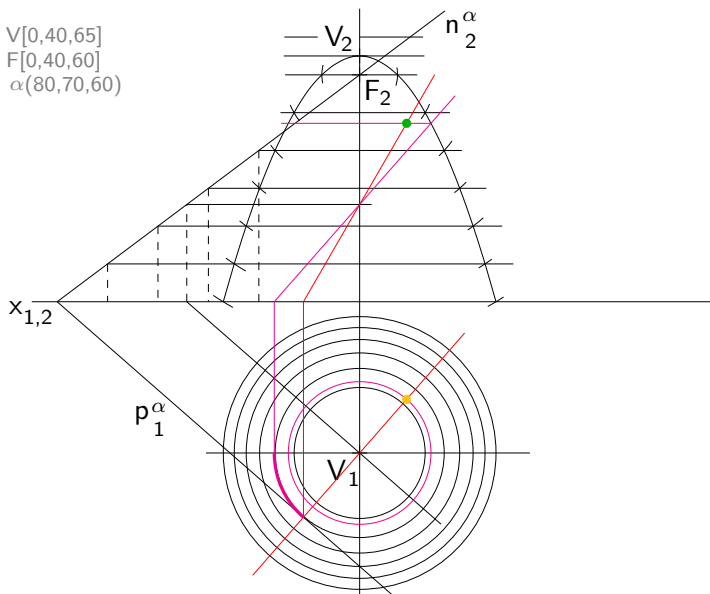
Eliptický řez rotačního paraboloidu

$V[0,40,65]$
 $F[0,40,60]$
 $\alpha(80,70,60)$



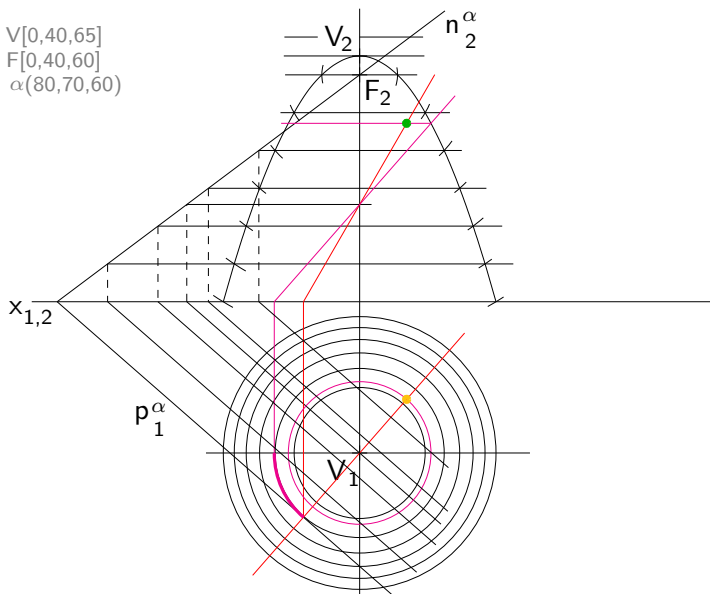
Eliptický řez rotačního paraboloidu

$V[0,40,65]$
 $F[0,40,60]$
 $\alpha(80,70,60)$



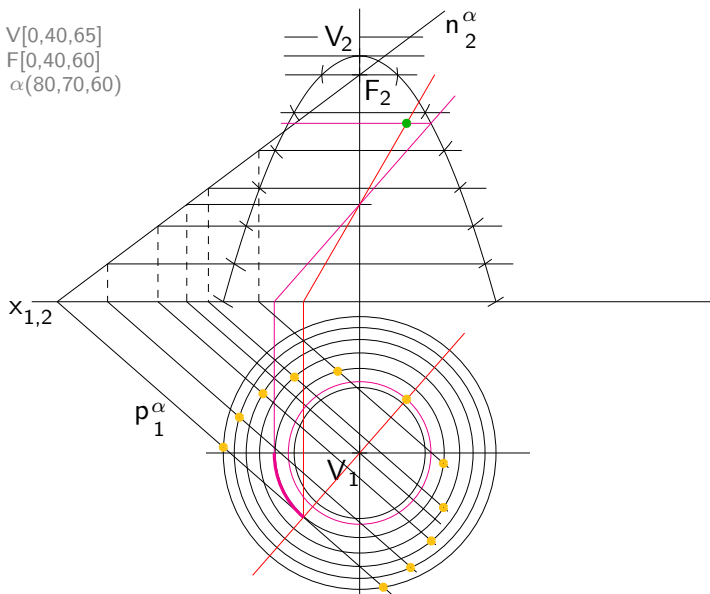
Eliptický řez rotačního paraboloidu

$V[0,40,65]$
 $F[0,40,60]$
 $\alpha(80,70,60)$



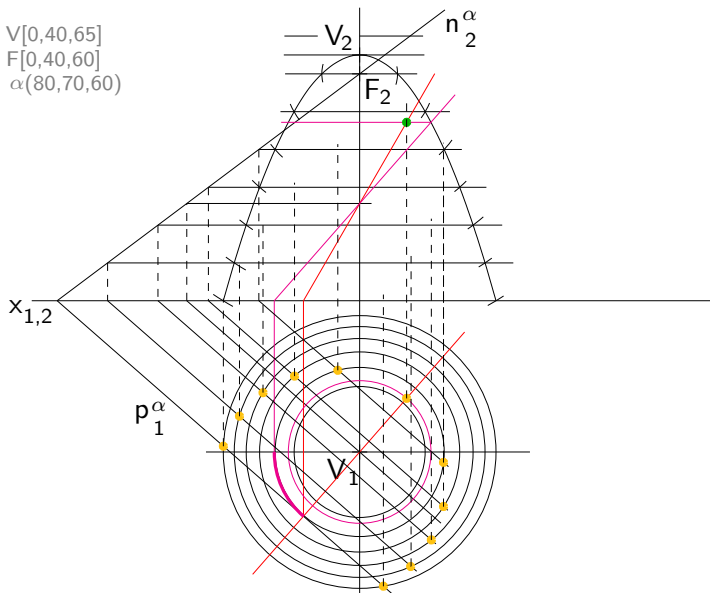
Eliptický řez rotačního paraboloidu

$V[0,40,65]$
 $F[0,40,60]$
 $\alpha(80,70,60)$



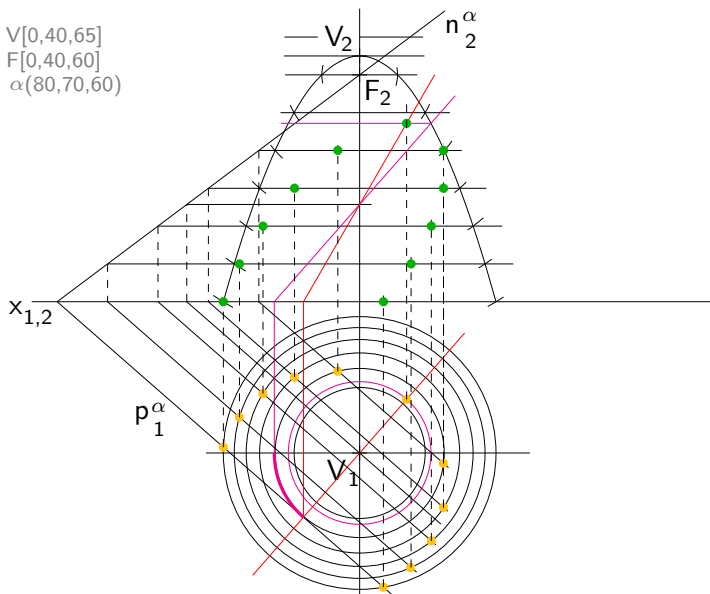
Eliptický řez rotačního paraboloidu

$V[0,40,65]$
 $F[0,40,60]$
 $\alpha(80,70,60)$



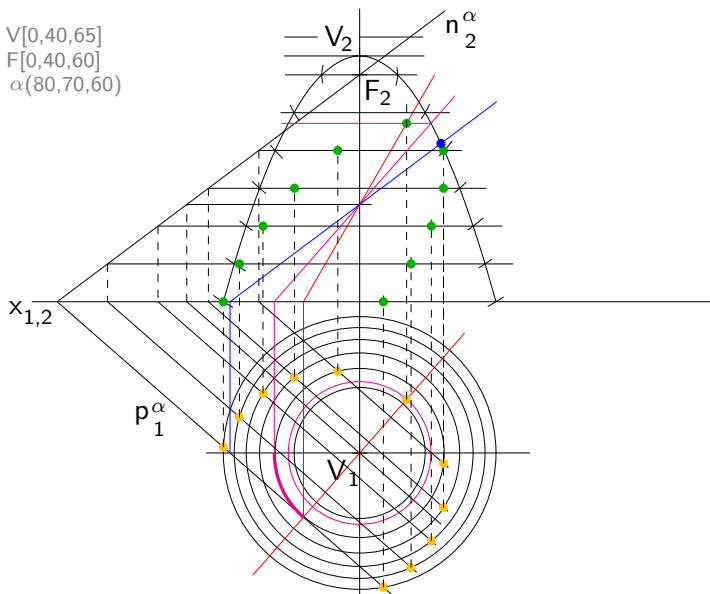
Eliptický řez rotačního paraboloidu

$V[0,40,65]$
 $F[0,40,60]$
 $\alpha(80,70,60)$



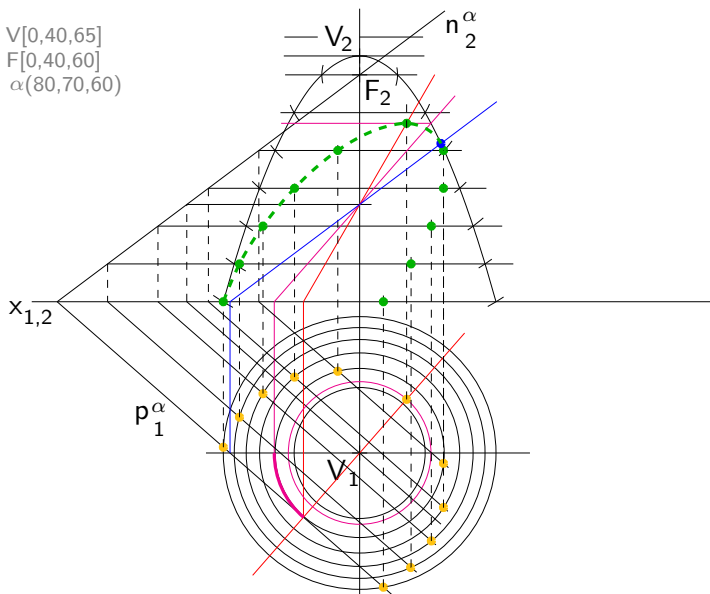
Eliptický řez rotačního paraboloidu

$V[0,40,65]$
 $F[0,40,60]$
 $\alpha(80,70,60)$



Eliptický řez rotačního paraboloidu

$V[0,40,65]$
 $F[0,40,60]$
 $\alpha(80,70,60)$



Eliptický řez rotačního paraboloidu

$V[0,40,65]$
 $F[0,40,60]$
 $\alpha(80,70,60)$

